

# محله علمی-پژوهشی «رادار»

سال سوم، شماره ۱، بهار ۱۳۹۴؛ ص ۱۲-۱

## تعیین جریان سیم پیچ‌های سیستم جبران‌ساز اختلالات مغناطیسی کشتی با استفاده از الگوریتم بهینه‌سازی از دحام ذرات

سینا محمودنژاد ماکویی<sup>۱\*</sup>، ایاز قربانی<sup>۲</sup>

۱- کارشناس ارشد-۲- دانشیار، دانشکده مهندسی برق، دانشگاه صنعتی امیرکبیر

(دریافت: ۹۳/۰۹/۱۲، پذیرش: ۹۳/۱۲/۱۳)

### چکیده

اختلالات مغناطیسی شناورها یکی از اصلی‌ترین معضلات آن‌ها در مقابله با مین‌های دریایی و یکی از عوامل مهم شناسایی هر چه سریع‌تر شناورهای زیرسطحی است. هدف اصلی این مقاله طراحی یک سیستم جبران‌ساز (سیستم دگوینگ) به منظور کمینه کردن اختلالات مغناطیسی کشتی‌ها است. برای انجام این مهم، ابتدا میدان اختلالی مغناطیسی کشتی شبیه‌سازی شده و سپس با استفاده از سه دسته سیم پیچ که در داخل بدنه کشتی تعبیه شده‌اند، سعی می‌شود میدانی هم اندازه اختلال اولیه کشتی و در جهت عکس آن تولید شود تا برآیند این اختلالات به کمترین میزان ممکن برسد. در این مقاله با استناد به خطی بودن کل سیستم و استفاده از الگوریتم بهینه‌سازی از دحام ذرات، جریان هر کدام از سیم پیچ‌ها مشخص می‌شود. پیچیدگی کمتر و سرعت بیشتر این روش در مقایسه با بهینه‌سازی‌های مستقیم شبیه‌سازها، از مهم‌ترین مزیت‌های روش پیشنهادی می‌باشد.

### واژگان کلیدی

اختلالات مغناطیسی، مواد فرومغناطیس، امضای مغناطیسی کشتی، سیستم دگوینگ، الگوریتم از دحام ذرات.

### ۱. مقدمه

مانند خوردگی بدنه، جریان‌های گردابی القا شده در بدنه و تجهیزات الکتریکی و مغناطیسی شناورها، در تولید اختلالات مغناطیسی، الکتریکی و حتی الکترومغناطیسی موثر هستند. طی تحقیقات و آزمایشات فراوان، مشخص شده است که مغناطیسی شدن بدنه شناور موثرترین عامل ایجاد اثرات اختلالی بوده و باستی تلاش برای کاهش آن در اولویت اول قرار بگیرد [۱]. تمامی منابع از جمله [۲-۵] ضمن بررسی عوامل موثر در ایجاد امضای مغناطیسی شناورها، بر این واقعیت تاکید دارند که اولین و مهم‌ترین عامل، همان مغناطیسی شدگی بدنه فرومغناطیسی شناور خواهد بود. دامنه بزرگ‌تر این مولفه از امضای مغناطیسی در کنار این واقعیت که این مولفه تحت هر شرایطی در اطراف شناور وجود دارد، از مهم‌ترین دلایل اهمیت آن در مقایسه با سایر عوامل موثر در تولید اثرات اختلالی است. به عنوان مثال، خوردگی شناور همیشه وجود نداشته و در صورت وجود نیز راه‌کارهای مناسبی برای مقابله با آن ارایه شده است [۳ و ۵] و یا جریان‌های گردابی فقط در شرایطی که شناور نوسانات شدیدی داشته باشد، القا خواهد شد. برای اولین بار در

در حال حاضر بهدلیل برتری‌های مکانیکی و هزینه ساخت کمتر فولاد در مقایسه با موادی نظیر فایبرگلاس، بیشتر شناورهای سطحی و زیرسطحی از این ماده ساخته می‌شوند. به لحاظ مغناطیسی، فولاد ماده‌ای فرومغناطیس بوده و این ویژگی فولاد یکی از اصلی‌ترین معایب آن برای ساخت شناورها به شمار می‌رود. همان‌طور که می‌دانیم مواد فرومغناطیس در اثر میدان‌های مغناطیسی خارجی مغناطیسی شده و یک میدان مغناطیسی اختلالی به محیط اعمال می‌کنند. با ساخت شناورها از جنس فولاد و با توجه به حضور میدان مغناطیسی زمین در محیط این شناورها، شناور همواره یک اختلال مغناطیسی در پیرامون خود ایجاد خواهد کرد. این اختلال مغناطیسی که امضای مغناطیسی<sup>۱</sup> نامیده می‌شود، یکی از عواملی است که می‌تواند امنیت شناور را تهدید کند. البته باستی به این نکته اشاره کرد که میدان مغناطیسی زمین و مغناطیسی شدن فولاد تحت تاثیر آن، تنها عامل ایجاد امضای شناور نبوده و عوامل بسیاری

\* رایانه نویسنده پاسخگو: sina.mm@aut.ac.ir

<sup>۱</sup> Magnetic signature

کنند، یک مساله وارون سه بعدی<sup>۲</sup> است که انجام محاسبات بهینه‌سازی آن با استفاده از شبیه‌سازهای عددی بسیار زمان بر بوده و در عین حال نیازمند رایانه‌های پیشرفته‌ای برای انجام محاسبات خواهد بود. در مقاله پیش‌رو ابتدا سعی خواهد شد با استفاده از نرم‌افزارهای در دسترس مانند MAXWELL 16.0 [۱۳] امضا مغناطیسی یک شناور بیست متری شبیه‌سازی شده و سپس با اعمال الگوریتم ازدحام ذرات بر روی خروجی‌های بهدست‌آمده از شبیه‌ساز، جواب بهینه برای جریان سیم‌پیچ‌ها محاسبه شود. بهینه‌سازی مربوطه با استفاده از نرم‌افزار MATLAB R2013a انجام گرفته و برای حصول اطمینان از صحت نتایج، پاسخ مساله در شبیه‌ساز عددی اعمال شده است. مقایسه امضا مغناطیسی برآیند بهدست‌آمده از شبیه‌ساز عددی و امضا برآیند محاسبه شده در نرم‌افزار MATLAB، صحت روش اعمال شده را تایید خواهد کرد.

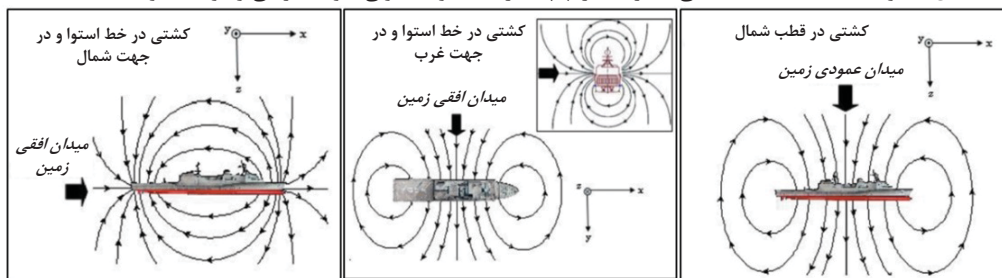
## ۲. شبیه‌سازی امضا مغناطیسی کشتی

با توجه به جهت میدان مغناطیسی زمین و راستای کشتی، امضا مغناطیسی کشتی به سه مولفه طولی (ILM<sup>۳</sup>، عرضی (IAM<sup>۴</sup>) و عمودی (IVM<sup>۵</sup>) تقسیم می‌شود. در شکل ۱ هر سه حالت امضا مغناطیسی یک کشتی نشان داده شده است. در کلی‌ترین حالت، هنگامی که میدان مغناطیسی زمین در یک جهت اختیاری قرار دارد می‌توان میدان مغناطیسی زمین را به سه جهت طولی، عرضی و عمودی تجزیه کرد و سایر محاسبات را بر اساس همین تقسیم‌بندی انجام داد.

برای شبیه‌سازی امضا مغناطیسی کشتی در هر یک از سه حالت فوق ابتدا بایستی میدانی یکنواخت و استاتیک در محیط مساله تعریف کرد. بیشتر نرم‌افزارهای در دسترس در زمینه مخابرات میدان مانند HFSS و CST [۱۴-۱۶] برای شبیه‌سازی ساختارهای کوچک و در فرکانس‌های مگاهرتز به بالا مناسب هستند. در اکثر این نرم‌افزارها امکان تعریف میدان یکنواخت در فرکانس صفر وجود ندارد. برای حل مشکل تعریف میدان یکنواخت نیز از یک آرایه

جنگ جهانی دوم دانشمندان به وجود چنین اثری در شناورها پی بردن و از همان زمان، تلاش‌ها برای ارایه راه حلی مناسب و البته مقرن به صرفه شروع شد. سیستم دگویندگ فعال<sup>۱</sup> کامل‌ترین و مقرن به صرفه‌ترین راه حلی است که تا به امروز برای جبران اختلالات مغناطیسی شناورها ارایه شده است [۵]. این سیستم، مجموعه‌های شامل سه دسته از سیم‌پیچ‌هایی است که در سه راستای سیم‌پیچ‌ها سعی می‌شود اختلال برآیند به حداقل میزان ممکن برسد. بخش مهم دیگر در این سیستم قسمت پردازشی است که باستی در هر لحظه اختلال شناور را اندازه‌گیری و یا محاسبه کرده و جریان سیم‌پیچ‌ها را در بهینه‌ترین حالت ممکن تنظیم کند. بخش پردازشی سیستم دگویندگ شامل محاسبات زمان‌بری است که باستی سعی شود در کوتاه‌ترین زمان ممکن انجام گیرد. بخش اول محاسبات، مربوط به تحلیل امضا مغناطیسی شناور و بخش دوم آن مربوط به محاسبه جریان سیم‌پیچ‌ها برای حداقل کردن اختلال برآیند است. تحلیل امضا مغناطیسی شناور به دو صورت امکان‌پذیر است. در حالت اول از ابزارهای اندازه‌گیری مانند سنسورهای تعییه‌شده در داخل بدنه و یا ربات‌های زیرسطحی برای اندازه‌گیری مستقیم امضا مغناطیسی استفاده می‌شود [۶-۹] و در حالت دوم با استفاده از شبیه‌سازها این محاسبات صورت می‌گیرد. طبیعی است که استفاده از ابزارهای اندازه‌گیری هزینه‌بر بوده و قطعاً اعمال آن برای تمامی ناوگان یک کشور مستلزم پرداخت هزینه گزافی خواهد بود. استفاده از شبیه‌ساز بسیار کم هزینه‌تر از حالت اول خواهد بود ولی در عین حال شبیه‌سازی چنین ساختارهای بزرگی حتی در حالت مگنتوستاتیک نیز ساده نبوده و بسیار زمان‌بر می‌باشد. علاوه بر این، متاسفانه بهدلیل برخی از مشکلات، نرم‌افزارهای استانداردی مانند چینی مسایلی مناسب هستند، در ایران در دسترس نبوده و مشکلات پژوهشی در این زمینه را دوچندان می‌کند. مساله بعدی در طراحی چنین سیستمی این است که بهینه‌سازی جریان سیم‌پیچ‌ها بهنحوی که بتوانند میدانی معادل با امضا شناور و در جهت عکس ایجاد

شکل ۱. مولفه‌های امضا مغناطیسی به ترتیب از چپ به راست: مولفه طولی، مولفه عرضی و مولفه عمودی [۱].



<sup>2</sup> 3D-Inverse Problem

<sup>3</sup> ILM; Induced Longitudinal Magnetization

<sup>4</sup> IAM; Induced Athwartship Magnetization

<sup>5</sup> IVM; Induced Vertical Magnetization

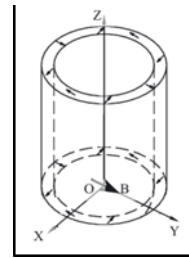
<sup>1</sup> Active Degaussing System

عمق ده متری و به طول ۴۰۰ m در نظر گرفته شده که به منظور مشاهده واضح‌تر نتایج، امپای شناور در ۲۰۰ m میانی این خط نشان داده شده است. کشتی نیز به صورتی تقریبی در محدوده ۱۹۰-۲۱۰ متری این خط واقع شده است. به دلیل تقارن موجود در مساله در هر کدام از حالت‌های IAM، ILM و IVM تعدادی از مولفه‌های امپای شناور نسبت به این خط اندازه‌گیری متقارن بوده و در نتیجه اختلالی روی آن دیده نمی‌شود. در شکل‌های (۴-۶) مولفه‌های هر یک از حالت‌های سه گانه امپای شناور نشان داده شده در شکل ۳ و با فرض میدان مغناطیسی ۵۵۰۰۰ نانو تسلای نشان داده شده است.

در حالت ILM، مؤلفه  $y$  امپای شناور نسبت به خط اندازه‌گیری متقارن بوده و در نتیجه در روی این خط، اندازه  $B_y$  برابر صفر خواهد بود. به همین دلیل در شکل ۴ اختلالی در این جهت نشان داده نشده است. البته باستی توجه شود مؤلفه  $y$  در تمامی نقاط عمق ۱۰ متری برابر صفر نیست و در صورتی که محل خط اندازه‌گیری در راستای عرض کشتی شیفت پیدا کند، اختلال این مولفه نیز کاملاً قابل مشاهده خواهد بود. شکل (۷-الف) هر سه مولفه میدان اختلالی را بر روی یک صفحه در عمق ۱۰ متری نشان می‌دهد. با دقت در این شکل می‌توان تقارن مولفه  $y$  نسبت به خط اندازه‌گیری را مشاهده کرد. همین تقارن برای مولفه‌های  $z$  و  $x$  امپای IAM و مولفه  $y$  امپای IVM نیز وجود دارد که در شکل‌های (۷-ب) و (۷-ج) به وضوح قابل تشخیص است و به همین دلیل در شکل ۵، مولفه‌های  $x$  و  $z$  و در شکل ۶، مولفه  $y$  وجود ندارد.

نکته حائز اهمیت دیگری که در رابطه با شکل‌های (۴-۶) وجود دارد این است که در میدان‌های اختلالی به دست آمده، با وجود تقارن مدل، ریپلهایی مشاهده می‌شود. این ریپلهای به دلیل محدودیت‌های محاسباتی مانند حداکثر تعداد مش اعمالی به مدل ایجاد می‌شود و بدیهی است در صورت در اختیار داشتن امکانات سخت افزاری مناسب و اعمال مش‌بندی‌های فشرده‌تر، به‌شکل مناسبی قابل حذف خواهند بود.

آهن‌ربایی خاص، به نام آرایه هالباخ استفاده شده است. این آرایه مجموعه‌ای از هشت آهن‌ربا است که با جهت‌گیری‌های خاصی در کنار هم قرار گرفته‌اند و می‌توان میدانی یکنواخت در وسط آن ایجاد کرد. آرایه هالباخ<sup>۱</sup> در [۱۷] به منظور استفاده‌های صنعتی برای تولید میدان‌های یکنواخت ارایه شده است. در شکل ۲ این آرایه با جهت‌های وادارندگی<sup>۲</sup> هر قطعه از هشت آهن‌ربا و میدان برآیند ساختار نشان داده شده است.

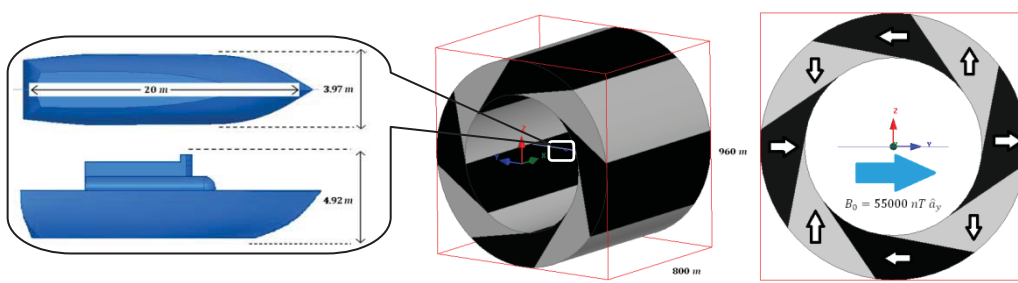


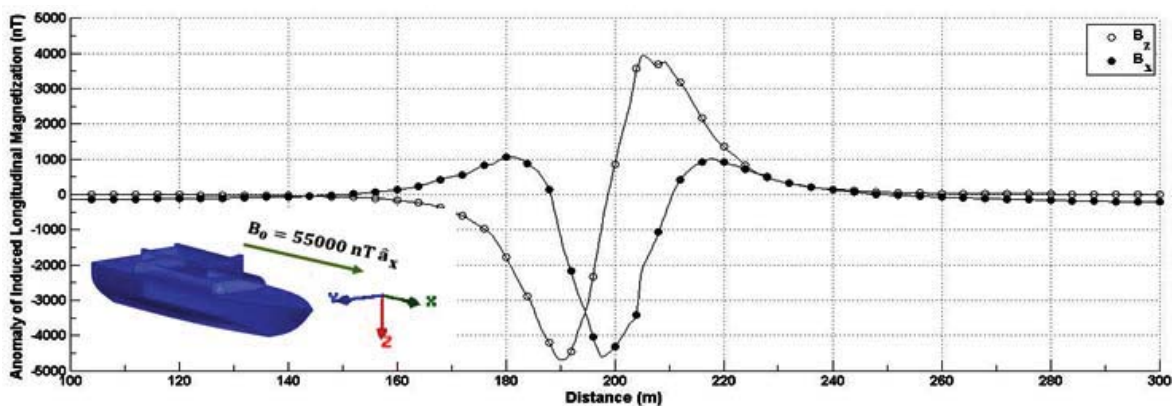
شکل ۲. آرایه هالباخ استوانه‌ای [۱۷].

در شکل ۳ نیز این آرایه در کنار مدل ساده کشتی که در محیط نرم‌افزار MAXWELL رسم شده، نشان داده شده است. ابعاد آرایه هالباخ ۸۰۰×۹۶۰ m و دامنه میدان مغناطیسی ۵۵۰۰۰ نانو تسلای نظر گرفته شده است. چنین ابعاد بزرگی به منظور افزایش دقت میدان یکنواختی میدان در وسط آرایه و در نتیجه افزایش دقت میدان انتخاب شده است. دامنه میدان مغناطیسی نیز در محدوده میدان مغناطیسی زمین (۲۰۰۰۰-۶۰۰۰۰ نانو تسلای) و نزدیک به مقادیر آن در نواحی خلیج فارس و دریای خزر تعیین شده است. این دامنه با تغییر وادارندگی آهن‌رباها به راحتی قابل کنترل است. مدل کشتی نیز در ابعاد تقریبی ۲۰×۴×۵ m با ضخامت متوسط ۲ سانتی‌متر و با ضریب گذردهی مغناطیسی  $80 = \mu_r$  در نظر گرفته شده است. جزئیات دقیق نحوه محاسبه امپای مغناطیسی کشتی در [۱۸] شرح داده شده است.

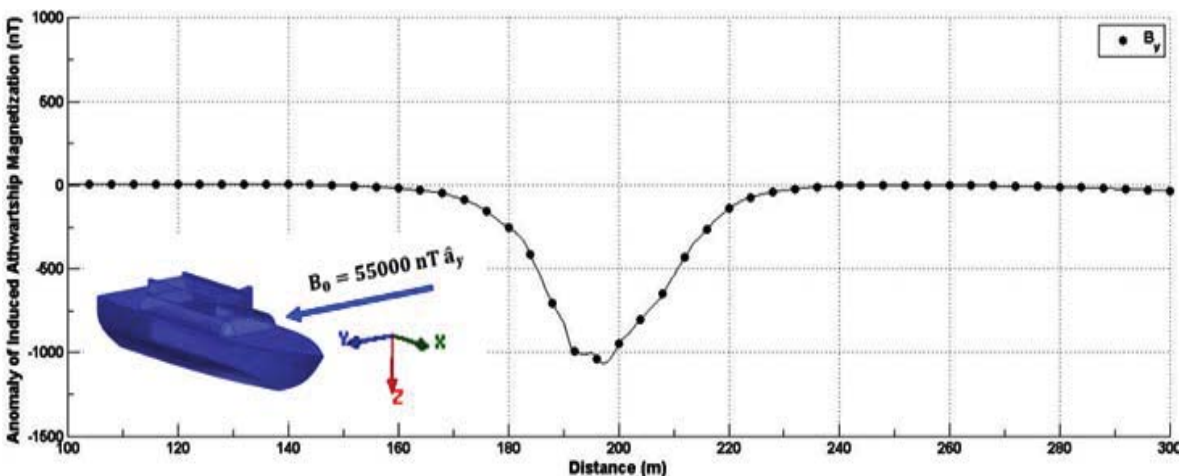
به طور معمول اندازه میدان اختلالی کشتی، بر روی خطی که در راستای طولی کشتی و در زیر تیرک اصلی آن قرار دارد و در یک عمق استاندارد، گزارش می‌شود. خط اندازه‌گیری در این مقاله در

شکل ۳. آرایه هالباخ استوانه‌ای و مدل استفاده شده برای کشتی در نرم‌افزار MAXWELL

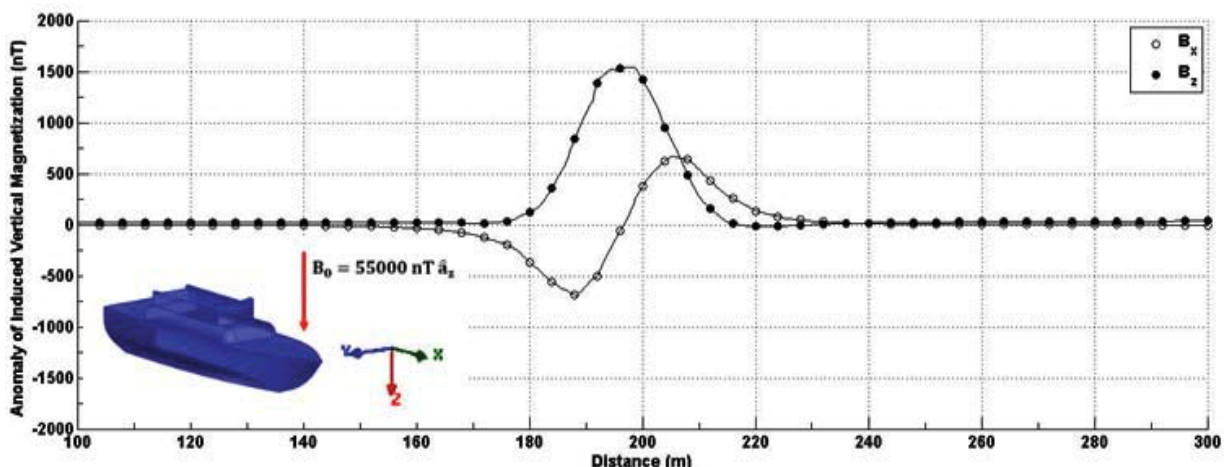
<sup>1</sup> Halbach array<sup>2</sup> coercivity



شکل ۴. امضا مغناطیسی کشتی در حالت ILM (میدان مغناطیسی زمین هم راستا با طول کشتی است).



شکل ۵. امضا مغناطیسی کشتی در حالت IAM (میدان مغناطیسی زمین هم راستا با عرض کشتی است).



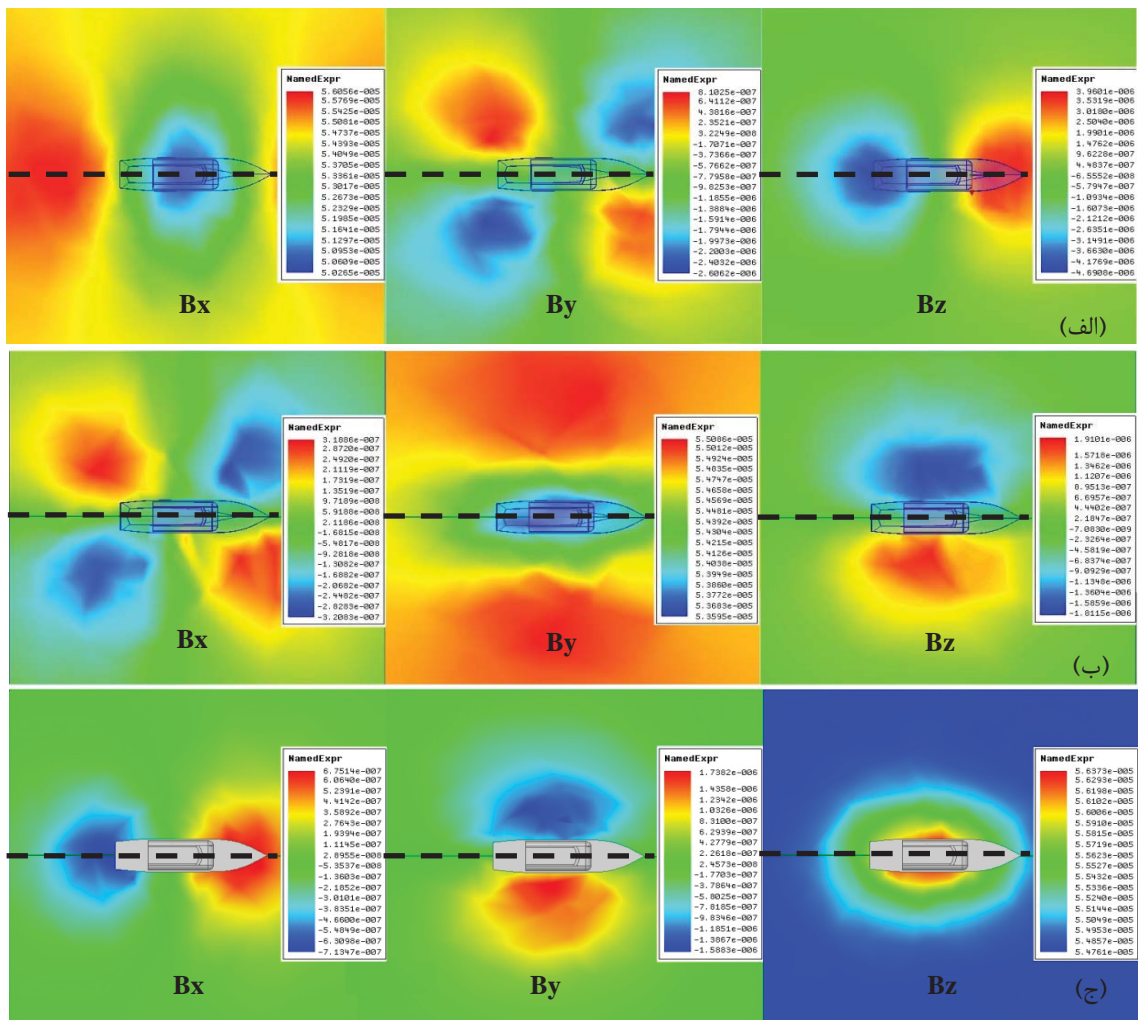
شکل ۶. امضا مغناطیسی کشتی در حالت IVM (میدان مغناطیسی زمین عمود بر کشتی است).

مغناطیسی شناورها فعال می‌شود و این روی، برای اولین بار نیروی دریابی بریتانیا در جنگ جهانی دوم برای مقابله با مین‌های مغناطیسی آلمانی سیستم‌های دگوسمینگ را توسعه داد [۵]. در طول سالیان متمادی سیستم‌های دگوسمینگ شاهد تحولات بسیاری بوده است ولی به نظر می‌رسد طرح اولیه این سیستم توسط سرچارلز فردریک گودیو<sup>۱</sup> پیشنهاد شده است [۱۹]. شکل ۸ نمای کلی یک

### ۳. سیستم جبران‌ساز مغناطیسی یا دگوسمینگ

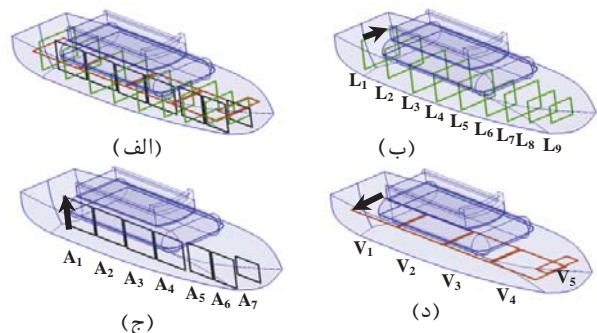
بین سپتامبر ۱۹۳۹ و ژانویه ۱۹۴۰ در حدود ۴۴ کشتی انگلیسی در کاتال مانش در اثر مین‌های مغناطیسی غرق شد. بعد از این حادثه نیروی دریابی بریتانیا به بررسی یکی از مین‌های زیر سطحی پرداخت و متوجه شد که سیستم آتش این مین‌ها بر اساس اختلالات

<sup>۱</sup> Sir Charles Frederick Goodeve



شکل ۷. الگوی امضا مغناطیسی کشتی بر روی یک صفحه فرضی در عمق ۱۰ متری. الف: حالت IAM ب: حالت ILM ج: حالت IVM

چنین سیستمی از این حقیقت ناشی می شود که میدان تولیدی یک سیم پیچ رفتاری بسیار مشابه با اختلالات شناورها دارد. در واقع این مساله را می توان به گونه ای دیگر نیز شرح داد. با مغناطیسی شدن فولاد در اثر میدان مغناطیسی زمین، جریان های مقیدی بر روی بدنه کشتی القا می شود. این جریان های مقید در دو شکل جریان های سطحی و جریان های حجمی ظاهر شده و از طریق روابط  $\bar{J}_m = \bar{\nabla} \times \bar{M}$  و  $\bar{J}_{ms} = \bar{M} \times \hat{n}$  به بردار مغناطیسی شدگی وابسته می شوند. پس علت اختلالات مغناطیسی شناورها توزیع جریان مقیدی است که بر روی بدنه آن القا می شود ولی به دلیل هندسه خاص هر کشتی، این جریان ها توزیع های پیچه دهای دارند. حال اگر بتوان بر روی بدنه کشتی توزیع جریانی مشابه همین توزیع جریان، ولی در جهت عکس آن ایجاد کرد، اختلالات مغناطیسی خنثی خواهد شد. پس در حالت حدی باشی که دنبال یک توزیع جریان صفحه ای باشیم ولی از آنجایی که تولید چنین جریانی در عمل ممکن نیست می توانیم چنین فرض کنیم که صفحه از سه مجموعه بی نهایت سیم پیچ تشکیل شده است. مسلماً هر چه تعداد سیم پیچ ها



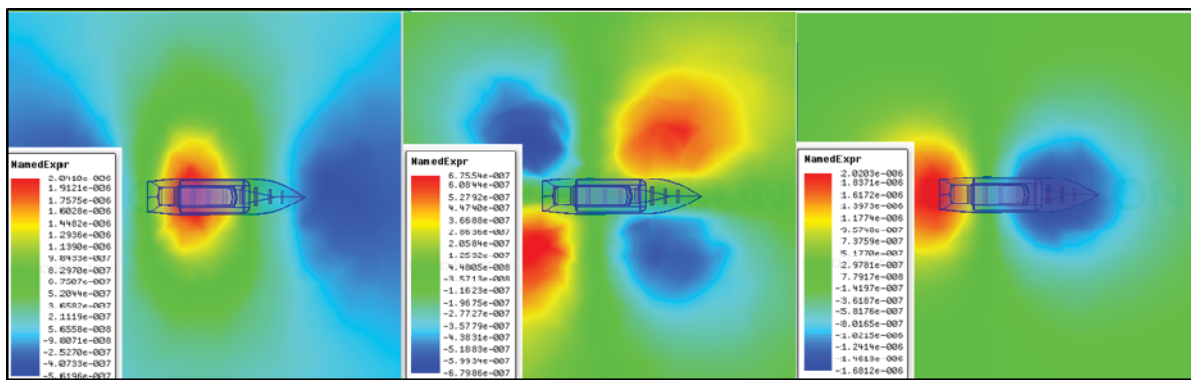
شکل ۸. سیستم دگوینگ. الف: نمای کلی ب: سیم پیچ های L ج: سیم پیچ های A د: سیم پیچ های V. فلش ها جهت فرضی جریان ها را نشان می دهند.

سیستم دگوینگ را نشان می دهد. این سیستم از سه دسته سیم پیچ طولی<sup>۱</sup>، عرضی<sup>۲</sup> و عمودی<sup>۳</sup> تشکیل شده است. هدف اصلی در این سیستم ایجاد میدانی مشابه با اختلال کشتی و در جهت عکس آن است تا برآیند این دو میدان حداقل شود. ایده اصلی

<sup>1</sup> L Coils

<sup>2</sup> A Coils

<sup>3</sup> V Coils



شکل ۹. الگوی میدان یکی از سیمپیج‌های طولی که در داخل کشتی با جریان فرضی یک کیلو آمپر تحریک شده است (\*در این الگوها بر خلاف شکل (۷) میدان مغناطیسی زمین مدل نشده – آرایه آهنربایی حذف شده – فقط یکی از سیمپیج‌های طولی تحریک شده است).

به دلیل طراحی سیستم به صورت حلقه بسته، سیستم می‌تواند جواب‌های خود را تصحیح کند. بهینه‌سازی چنین سیستمی در واقع یک مساله وارون سه بعدی است که انجام آن توسط شبیه‌سازی بسیار زمان برخواهد بود. برای غلبه بر این مشکل سعی می‌شود بهینه‌سازی در خارج از شبیه‌ساز صورت گرفته و جواب نهایی به شبیه‌ساز اعمال شود. این کار دو مزیت انکارناظری در مقایسه با بهینه‌سازی شبیه‌ساز خواهد داشت. اولین مزیت این است که به جای حل مساله وارون سه بعدی، یک مساله وارون صرفاً ریاضی و مستقل از هندسه ساختار خواهیم داشت که حجم محاسبات را کاهش می‌دهد [۲۰] و مزیت دوم نیز امکان استفاده از الگوریتم مناسب برای این نوع خاص از مساله است. طبق بررسی‌های انجام گرفته یکی از مناسب‌ترین الگوریتم‌ها برای چنین مسایلی الگوییت از حمام ذرات<sup>۱</sup> است [۲۱]. که این الگوییت در نرم‌افزار ۱۶.۰ MAXWELL وجود ندارد. الگوییتم از حمام ذرات به دلیل سادگی کدنویسی و بازدهی خوب آن در رسیدن به پاسخ بهینه یکی از الگوریتم‌های محبوب برای حل مسایل بهینه‌سازی است که این موضوع در مراجعی مانند [۲۱-۲۲] با جزئیات کامل شرح داده شده است. با وجود این که این الگوییتم هیچ تضمینی در یافتن پاسخ مطلق مساله ارایه نمی‌کند، در مسایلی که یافتن سریع یکی از پاسخ‌های به اندازه کافی مناسب، مهم‌تر از رسیدن به پاسخ بهینه است، الگوییتم از حمام ذرات بازدهی بسیار خوبی خواهد داشت. به دلیل حجم محاسبات سیستم‌های دگوینگ، زمان اجرای الگوییتم‌ها، یکی از اولویت‌های اصلی طراحان آن بوده و رسیدن به پاسخ بهینه (مطلق) در اولویت دوم قرار دارد و از این رو استفاده از الگوییتم از حمام ذرات در سیستم دگوینگ بسیار مناسب به نظر می‌رسد.

### ۱-۳. مدل‌سازی مساله وارون

قبل از استفاده از الگوییتم از حمام ذرات، بایستی تابع هزینه<sup>۲</sup> مساله و ورودی‌های لازم برای آن تعریف شود. برای بهینه‌سازی مساله دگوینگ به جای در نظر گرفتن تمام محیط مساله، می‌توان خط اندازه‌گیری در عمق ده متري را به عنوان ناحیه حل مساله در نظر

افزایش یابد، دقت حل مساله نیز بیشتر خواهد شد ولی باقیستی محدودیت‌های عملی را نیز در چنین مسایلی در نظر بگیریم. محدودیت‌هایی از قبیل هزینه سیستم، وزنی که مجموعه این سیستم به شناور اضافه می‌کند و فضایی که می‌توان در آن سیمپیج‌ها را تعبیه کرد از جمله ملاحظاتی است که در طراحی سیستم دگوینگ حائز اهمیت خواهد بود.

هر یک از سیمپیج‌های طولی، عرضی و عمودی به ترتیب رفتاری مشابه با حالت‌های ILM و IVM نشان می‌دهند. به عنوان مثال الگوی میدان تولیدی یکی از سیمپیج‌های طولی در شکل ۹ نشان داده شده است. با مقایسه این شکل با شکل (۷-الف) مشخص می‌شود که با جهت جریان فرض شده در شکل ۸، میدان‌ها دقیقاً رفتاری مشابه و البته در جهت عکس اختلالات مغناطیسی در حالت ILM استفاده کرد. سیمپیج‌های عرضی و عمودی نیز رفتار مشابهی را از خود نشان می‌دهند که برای جلوگیری از تکرار مطالب الگوهای میدان تولیدی آن‌ها ارایه نشده است. در این مقاله به صورت مولفه ILM هفت سیمپیج عرضی در نظر گرفته شده است. برای مولفه ILM دادن تاثیر تعداد سیمپیج‌ها در دقت مساله، به صورت تعتمدی تعداد سیمپیج‌های کمتری برای مولفه IVM انتخاب شده است. همان‌طور که در شکل (۷-د) نشان داده شده است، پنج سیمپیج عمودی برای جبران مولفه IVM در نظر گرفته شده است. تاثیر کاهش تعداد سیمپیج‌ها در نتایج حاصل از بهینه‌سازی مورد بحث قرار خواهد گرفت.

مرحله بعدی طراحی سیستم دگوینگ، بهینه‌سازی جریان سیمپیج‌های است. در سیستم‌های دگوینگ اولیه که به صورت غیرفعال طراحی شده بودند، جریان سیمپیج‌ها به صورت تجربی و با در نظر گرفتن مختصات جغرافیایی و کلاس شناور انتخاب می‌شدند [۵]. با پیشرفت مین‌های دریایی و افزیش دقت آن‌ها در تشخیص اختلالات مغناطیسی، سیستم‌های دگوینگ فعل ارایه شد. در این سیستم سعی می‌شود پاسخ بهینه برای حداقل‌سازی اختلالات انتخاب شود و

<sup>1</sup> Particle Swarm Optimization Algorithm

<sup>2</sup> Cost function

در شکل های (۱۱-۱۳) میدان های تولیدی هر یک از سیم پیچ ها نشان داده شده است. در شبیه سازی اثر این سیم پیچ ها، بدنه کشتی نیز در نظر گرفته شده تا تاثیرات وجود بدنه - بدنه کشتی باعث کاهش چند درصدی دامنه میدان های تولیدی سیم پیچ ها خواهد شد که این مساله در مرجع [۲۰] نیز مد نظر قرار گرفته است - نیز محاسبه شود. مشابه مولفه های مختلف امضای کشتی، برخی از مولفه های میدان تولیدی سیم پیچ ها نیز نسبت به خط اندازه گیری متقارن هستند. برای سیم پیچ های طولی مولفه  $\alpha$  برای سیم پیچ های عرضی مولفه های  $x$  و  $z$  و برای سیم پیچ های عمودی مولفه  $y$  متقارن بوده و در نتایج ارایه نشده است. با وجود این که طول خط اندازه گیری در این شبیه سازی ها  $400\text{ m}$  انتخاب شده است، نتایج در فاصله  $160\text{-}240$  متری وسط این خط ارایه شده تا اختلاف اثر هر کدام از سیم پیچ ها بهتر مشخص شود. در خارج از این بازه اثر سیم پیچ ها نزدیک به صفر است.

با دردست داشتن این ورودی ها می توان تابع هزینه مساله بهینه سازی را به صورت رابطه (۳) نوشت.

$$F =$$

$$\min \max \left( \begin{array}{l} \sum_{i=1}^n \sum_{j=1}^p |B_j^{x,ship} - c_i B_j^{x,Li}|, \\ \sum_{i=1}^n \sum_{j=1}^p |B_j^{y,ship} - c_i B_j^{y,Li}|, \\ \sum_{i=1}^n \sum_{j=1}^p |B_j^{z,ship} - c_i B_j^{z,Li}| \end{array} \right) \quad (3)$$

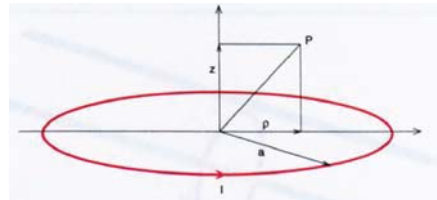
در رابطه (۳)  $i=1,2,\dots,n$  تعداد سیم پیچ ها،  $j=1,2,\dots,p$  تعداد نقاط اندازه گیری بر روی خط اندازه گیری،  $B_j^{x,ship}$  مولفه  $x$  امضای کشتی در نقطه  $j$  و  $B_j^{x,Li}$  مولفه  $x$  میدان سیم پیچ طولی  $i$  در نقطه  $j$  است. با استیضاح به این نکته توجه کرد که پارامتر  $c$  در رابطه (۳) نشان دهنده ضرایب جریان الکتریکی بوده و هدف بهینه سازی، به دست آوردن همین ضرایب است تا با استفاده از آن ها جریان الکتریکی هر سیم پیچ با ضرب این ضرایب در یک کیلوآمپر جریان مرجع - محاسبه شود.

## ۲-۳. الگوریتم ازدحام ذرات

الگوریتم ازدحام ذرات برای اولین بار توسط جیمز کنندی<sup>۱</sup> و راسل ابرهارت<sup>۲</sup> در سال ۱۹۹۵ ارایه شد [۲۱]. جزئیات ریاضی این الگوریتم در مراجعی مانند [۲۴، ۲۵] به طور مفصل شرح داده شده است، ولی برای آشنایی با روند حل مساله، در این بخش کلیات استراتژی این الگوریتم مرور خواهد شد. یکی از ویژگی های الگوریتم ازدحام ذرات این است که از گرادیان مساله استفاده نمی کند. این امر بدین معنی است که در الگوریتم ازدحام ذرات نیازی نیست

گرفت و چنین فرض کرد که اگر مساله بر روی خط اندازه گیری بهینه شود، در تمام محیط مساله بهینه خواهد بود. با وجود این که ممکن است جواب حاصل از این راه حل پاسخ بهینه نباشد ولی باقیستی در نظر گرفت که اگر تمام محیط مساله در تابع هزینه لحظه شود حجم داده ها به شدت افزایش پیدا کرده و برای مساله ای در چنین ابعادی، حل آن تقریباً ناممکن خواهد بود. ضمن این که چون خط اندازه گیری در بدترین محل روی صفحه (زیر تیرک کشتی) در نظر گرفته شده، طبیعتاً بهینه سازی نیز برای بیشترین اختلالات انجام می گیرد. صحت این روش در بیشتر مراجع از جمله [۲۱، ۲۰، ۵] ذکر شده و در مراجعی مانند [۲۳] با انجام آزمایشات عملی تایید شده است.

در تابع هزینه مساله دو دسته ورودی لازم است. ورودی اول همان مولفه های امضای کشتی بر روی خط اندازه گیری است که در شکل های (۴-۶) نشان داده شد. دسته دوم ورودی ها، میدان های تولیدی تک تک سیم پیچ ها بر روی خط اندازه گیری است. برای به دست آوردن این اطلاعات از نرم افزار MAXWELL 16.0 استفاده شده است. در شبیه سازی اثر سیم پیچ ها میدان مغناطیسی زمین حذف شده - آرایه آهن ربانی در این حالت وجود ندارد - و در هر مرتبه تنها یک سیم پیچ با یک جریان معیار تحریک شده است. در مرجع [۲] میدان تولیدی یک سیم پیچ دایروی در هر نقطه دلخواه در فضا که در شکل ۱۰ نشان داده شده، محاسبه شده است. نتایج این محاسبات در معادله (۱) نشان داده شده که در این معادله توابع  $K$  و  $E$  توابع بیضوی کامل نوع اول و دوم هستند. همان طور که در این معادله دیده می شود، میدان مغناطیسی حاصل از سیم پیچ با جریان آن رابطه مستقیم دارد و در نتیجه با در دست داشتن میدان سیم پیچ برای یک جریان معیار (که در این مقاله یک کیلوآمپر در نظر گرفته شده است)، میدان سیم پیچ برای سایر جریان ها از طریق رابطه ساده (۲) بدست می آید. در رابطه (۲) زیرنویس  $r$  جریان معیار و میدان ناشی از آن را نشان می دهد.



شکل ۱۰. سیم پیچ دایروی به شعاع  $a$  و جریان  $I$  [۲]

$$B_r = \frac{\mu_0 I}{4\pi} \frac{2z}{\rho\sqrt{(a+\rho)^2+z^2}} \left[ -K(k) + \frac{a^2+\rho^2+z^2}{(a-\rho)^2+z^2} E(k) \right] \quad (\text{الف})$$

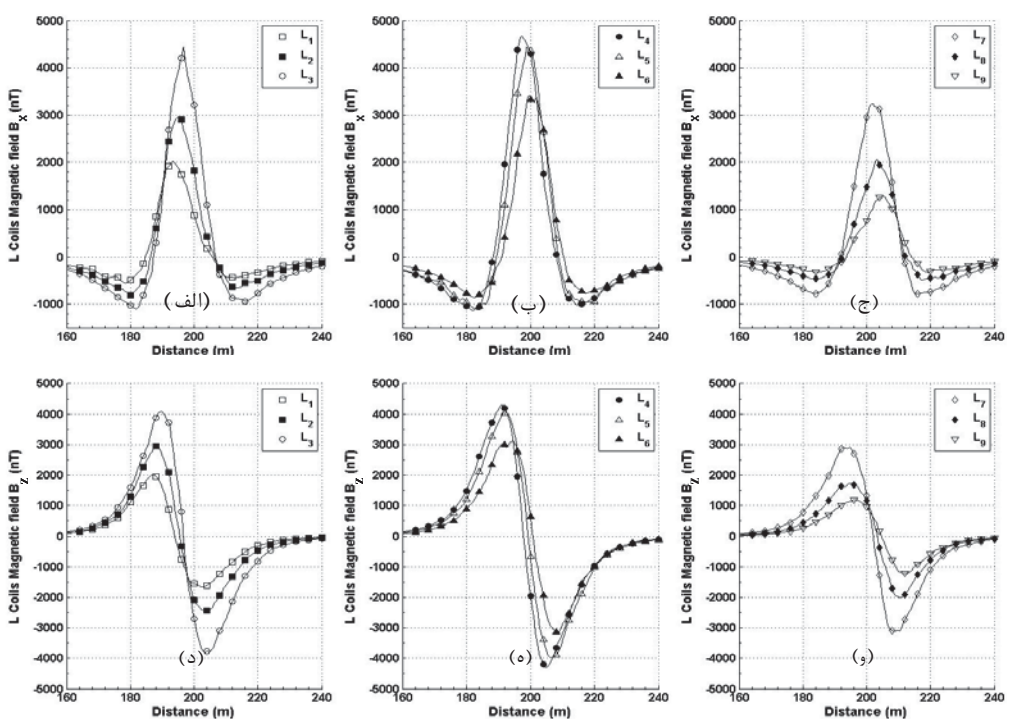
$$B_z = \frac{\mu_0 I}{4\pi} \frac{2}{\rho\sqrt{(a+\rho)^2+z^2}} \left[ K(k) + \frac{a^2-\rho^2-z^2}{(a-\rho)^2+z^2} E(k) \right] \quad (\text{ب})$$

$$k = 2\sqrt{\frac{a\rho}{(a+\rho)^2+z^2}} \quad (\text{ج})$$

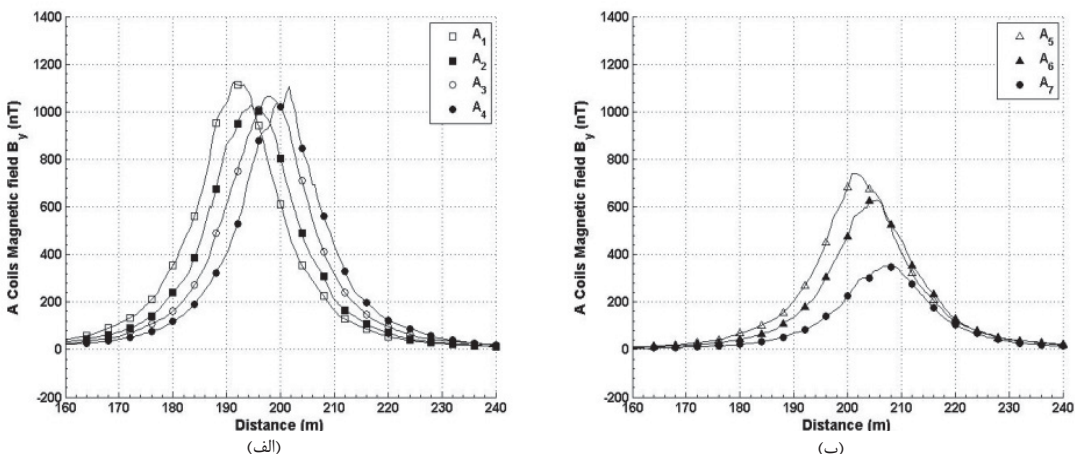
$$B = B_r \frac{I}{I_r} \quad (2)$$

<sup>1</sup>J. Kennedy

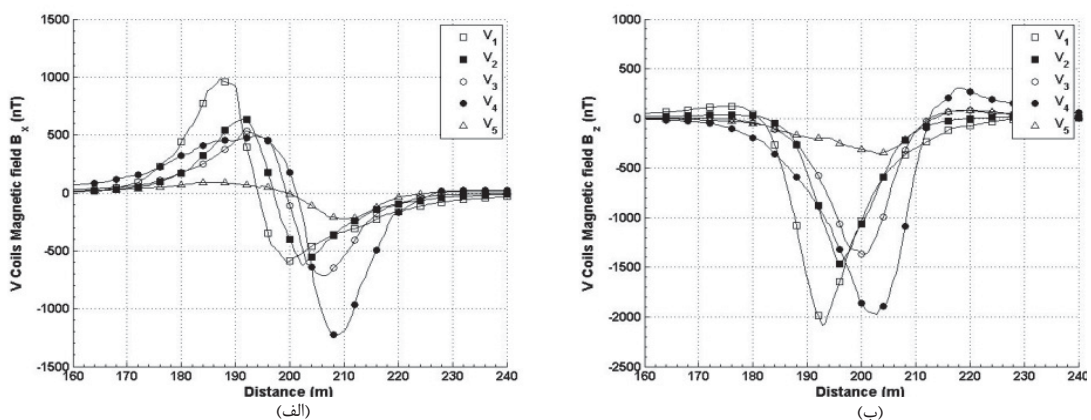
<sup>2</sup>R.Eberhart



شکل ۱۱. میدان‌های تولیدی سیم‌پیچ‌های طولی. (الف) مولفه  $B_x$  سیم‌پیچ‌های L<sub>1</sub>-L<sub>3</sub>. (ب) مولفه  $B_x$  سیم‌پیچ‌های L<sub>4</sub>-L<sub>6</sub>. (ج) مولفه  $B_x$  سیم‌پیچ‌های L<sub>7</sub>-L<sub>9</sub>. (د) مولفه  $B_z$  سیم‌پیچ‌های L<sub>1</sub>-L<sub>3</sub>. (ه) مولفه  $B_z$  سیم‌پیچ‌های L<sub>4</sub>-L<sub>6</sub>. (ز) مولفه  $B_z$  سیم‌پیچ‌های L<sub>7</sub>-L<sub>9</sub>.



شکل ۱۲. میدان‌های تولیدی سیم‌پیچ‌های عرضی. (الف) مولفه  $B_y$  سیم‌پیچ‌های A<sub>1</sub>-A<sub>4</sub>. (ب) مولفه  $B_y$  سیم‌پیچ‌های A<sub>5</sub>-A<sub>7</sub>.



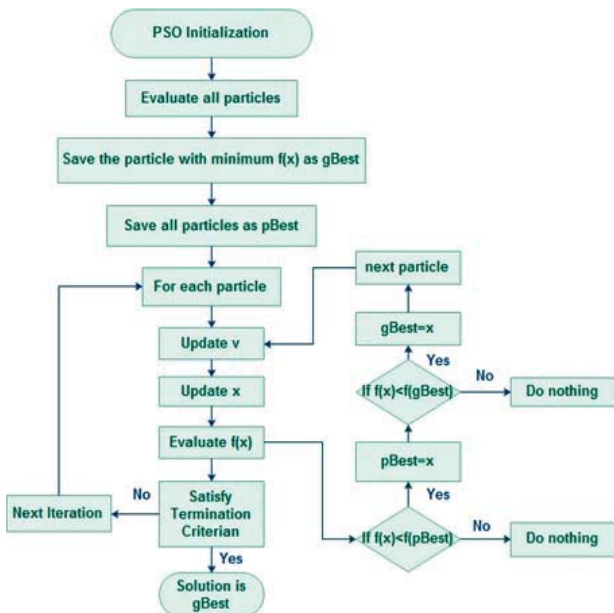
شکل ۱۳. میدان‌های تولیدی سیم‌پیچ‌های عمودی. (الف) مولفه  $B_x$  سیم‌پیچ‌های V<sub>1</sub>-V<sub>5</sub>. (ب) مولفه  $B_z$  سیم‌پیچ‌های V<sub>1</sub>-V<sub>5</sub>.

دقیق بهینه‌سازی‌ها و شبیه‌سازی‌های نرم‌افزار MAXWELL نیز در جدول ۳ نشان شده است.

در جدول ۴ مقادیر جریان به دست آمده از بهینه‌سازی ارایه شده است. در شکل‌های (۱۵-۱۷) نیز میدان‌های برآیند سیم‌پیچ‌ها در مقایسه با امضای کشتی (با علامت منفی Optimization results) تحت عنوان Ship signature، برای هر کدام از حالت‌های ILM، IAM و IVM به صورت نرمالیزه نشان داده شده است. هر یک از نمودارها به مقدار بیشتر امضای شناور در آن حالت نرمالیزه شده‌اند.

جدول ۱. پارامترهای به کار رفته در روابط (۴-۶) [۲۱]

توضیح	نام پارامتر	توضیح	نام پارامتر
تعداد ذرات در هر جمعیت	$M$	ضرایب یادگیری	$c_1, c_2$
مولفه $k$ ام سرعت ذره $i$ در تکرار $k$	$v_{id}^k$	تابع وزن در تکرار $k$	$w^k$
مولفه $k$ ام مکان ذره $i$ در تکرار $k$	$x_{id}^k$	تابع وزن اولیه	$w_{ini}$
مولفه $k$ ام بهترین موقعیت ذره $i$ از $N$	$p_{id}$	تابع وزن نهایی (نهنگامی که آخرین جمعیت تولید می‌شود)	$w_{end}$
مولفه $k$ ام بهترین موقعیت جمعیت	$p_{gd}$	بیشترین تعداد جمعیت	$T_{max}$



شکل ۱۴. فلوچارت الگوریتم ازدحام ذرات

جدول ۲. مشخصات سیستم مورد استفاده برای انجام شبیه‌سازی‌ها و محاسبات مربوط به بهینه‌سازی

CPU	RAM
Intel (R) Core™ i7-2640M @ 2.8 GHz	8.00 GB

مساله مشتق‌پذیر باشد که این شرط در بسیاری از روش‌های کلاسیک بهینه‌سازی مانند شبکه‌نیوتون و گرادیان کاهشی جزو شروط لازم برای حل مساله است. از دیگر مزایای این الگوریتم این است که هیچ فرضی در حل مساله صورت نمی‌گیرد و الگوریتم می‌تواند ناحیه پسیار وسیع از جواب‌های احتمالی را جستجو کند. البته از معایب اصلی این روش نیز می‌توان به این نکته اشاره کرد که الگوریتم ازدحام ذرات هیچ ضمانتی برای رسیدن به پاسخ بهینه ندارد. این نکته برای بهینه‌سازی سیستم دگرسینگ مشکلی پیش نمی‌آورد چرا که در حل چنین مساله‌ای، رسیدن به پاسخ بهینه در مقایسه با یافتن سریع یکی از جواب‌های احتمالی (و به اندازه کافی مناسب) اهمیت کمتری دارد و بدلیل حجم محاسبات زیاد، اولویت حل مساله با زمان انجام بهینه‌سازی است.

این الگوریتم هر جواب احتمالی را به صورت نقطه‌ای در ناحیه  $n$  بعدی مساله فرض می‌کند که موقعیت این نقاط با بردار  $X_i = (x_1, x_2, \dots, x_n)$  و سرعت حرکت هر ذره در این ناحیه با بردار  $V_i = (v_1, v_2, \dots, v_n)$  نشان داده می‌شود. هر ذره که بخشی از یک جمعیت اولیه است در ناحیه حل مساله حرکت می‌کند و جهت حرکت آن و مسافتی که طی می‌کند بر اساس ضریبی از بهترین تجربه انفرادی و بهترین جواب جمعیتی انتخاب می‌شود. در شکل ۱۴ فلوچارت الگوریتم ازدحام ذرات نشان داده شده است و روابط این الگوریتم را می‌توان به صورت ساده زیر نوشت [۲۱]. در جدول ۱ هر یک از پارامترهای به کار رفته در روابط زیر توضیح داده شده است.

$$v_{id}^{k+1} = w^k \times v_{id}^k + c_1 \times rand(.) \times (p_{id} - x_{id}^k) + c_2 \times rand(.) \times (p_{gd} - x_{id}^k) \quad (4)$$

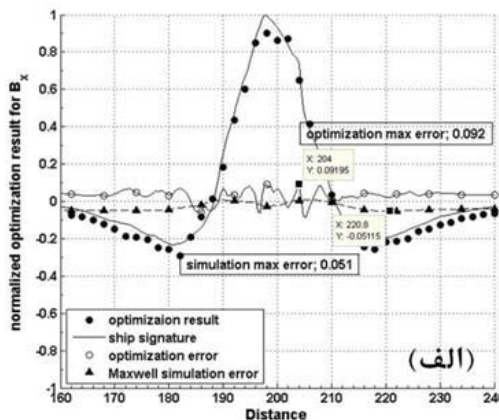
$$x_{id}^{k+1} = x_{id}^k + v_{id}^{k+1} \quad (5)$$

$$w^k = \frac{(w_{ini} - w_{end})(T_{max} - k)}{T_{max}} + w_{end} \quad (6)$$

#### ۴. نتایج بهینه‌سازی

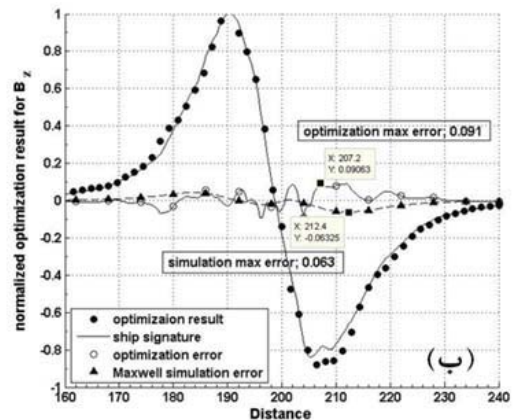
با در دست داشتن امضای مغناطیسی شناور، اثر سیم‌پیچ‌ها و تابع هزینه مساله می‌توان بهینه‌سازی را برای هر یک از حالت‌های ILM و IAM و IVM انجام داد. در هر سه حالت، جمعیت ۵۰۰ ذره و حداقل تعداد تکرار ۲۰۰۰ مرتبه تعیین شده است. چنین اعداد بزرگی برای افزایش هر چه بیشتر دقت بهینه‌سازی‌ها انتخاب شده و اگر در یک سیستم عملی محدودیت‌های زمانی مهم‌تر باشد، می‌توان با جمعیت‌ها و تعداد تکرارهای کمتری نیز جواب‌های قابل قبولی به دست آورد. محدوده اولیه (۱۰۰۰-۱۰۰۰۰) آمپر برای الگوریتم در نظر گرفته شده که البته الگوریتم می‌تواند خارج از این بازه را نیز جستجو کند و این بازه در انتخاب ذرات اولیه تاثیرگذار خواهد بود. برای انجام این محاسبات از یک ریاضیه معمولی با مشخصات ارایه شده در جدول ۲ استفاده شده است. مدت زمان

نسبت به دو حالت ILM و IVM که دو مولفه از میدان به صورت همزمان بهینه می‌شوند، وجود دارد. خطای بیشتر حالت IVM نسبت به حالت ILM نیز کاملاً قابل انتظار بود چرا که برای حالت IVM تعداد سیم‌پیچ کمتری در نظر گرفته شده و در موقع درجه آزادی سیستم از ۹ به ۵ کاهش یافته است. برای بررسی صحت داده‌های به دست آمده، با استفاده از مقادیر جریان حاصل از بهینه‌سازی‌ها، امضای شناور در حالتی که کشتی مجهز به سیم‌پیچ‌های دگویندگ است، در نرم‌افزار MAXWELL شبیه‌سازی شده است. نتایج این شبیه‌سازی‌ها نیز در شکل‌های (۱۵) و (۱۶) با عنوان



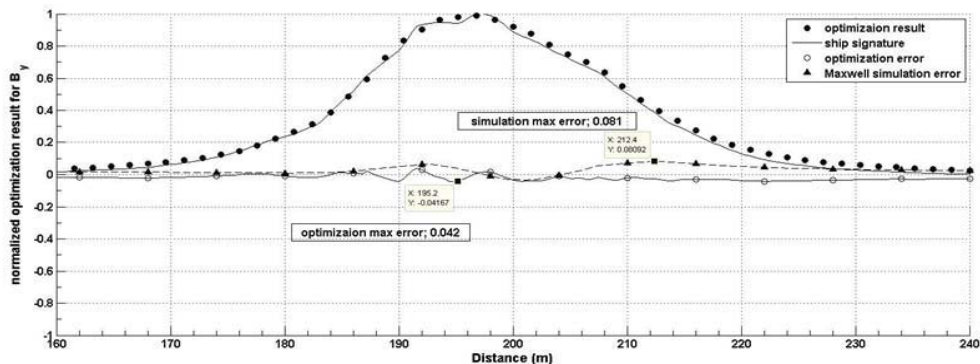
(الف)

در این شکل‌ها اختلاف میدان‌های برآیند سیم‌پیچ‌ها و امضای اولیه که نشان‌دهنده اختلال باقی‌مانده بعد از انجام فرایند دگویندگ است نیز در منحنی Optimization error ارایه شده است. در حالت ILM بیشترین خطای بهینه‌سازی ( محلی که بعد از انجام فرایند ۹/۲ دگویندگ بیشترین اختلال را خواهد داشت) برای مولفه  $B_x$  درصد و برای مولفه  $B_z$  ۹/۱ درصد است. خطای برای حالت IAM ۴/۲ درصد و برای حالت IVM در مولفه  $B_x$  ۱۴/۱ درصد و در مولفه  $B_z$  ۶/۴ درصد است. همان‌طور که انتظار داشتم در حالت IAM که فقط یک مولفه از میدان مغناطیسی بهینه می‌شود، خطای کمتری

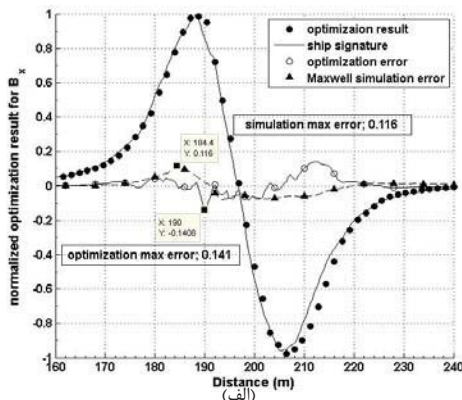


(ب)

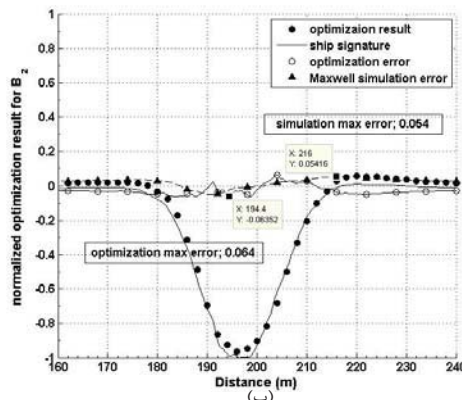
شکل ۱۵. مقایسه امضای شناور، میدان‌های برآیند سیم‌پیچ‌ها و اختلال باقی‌مانده بعد از انجام بهینه‌سازی در حالت ILM (الف) مولفه  $B_x$ ، (ب) مولفه  $B_z$  در این تصویر Optimization result نشان‌دهنده میدان برآیند تولیدی سیم‌پیچ‌ها، Ship signature نشان‌دهنده قرینه امضای شناور (محاسبه شده در نرم افزار Maxwell simulation error) نشان‌دهنده اختلال باقی‌مانده بعد از فعال کردن سیستم دگویندگ در محیط نرم افزار Maxwell است.



شکل ۱۶. مقایسه امضای شناور، میدان‌های برآیند سیم‌پیچ‌ها و اختلال باقی‌مانده بعد از انجام بهینه‌سازی در حالت IAM



(الف)



(ب)

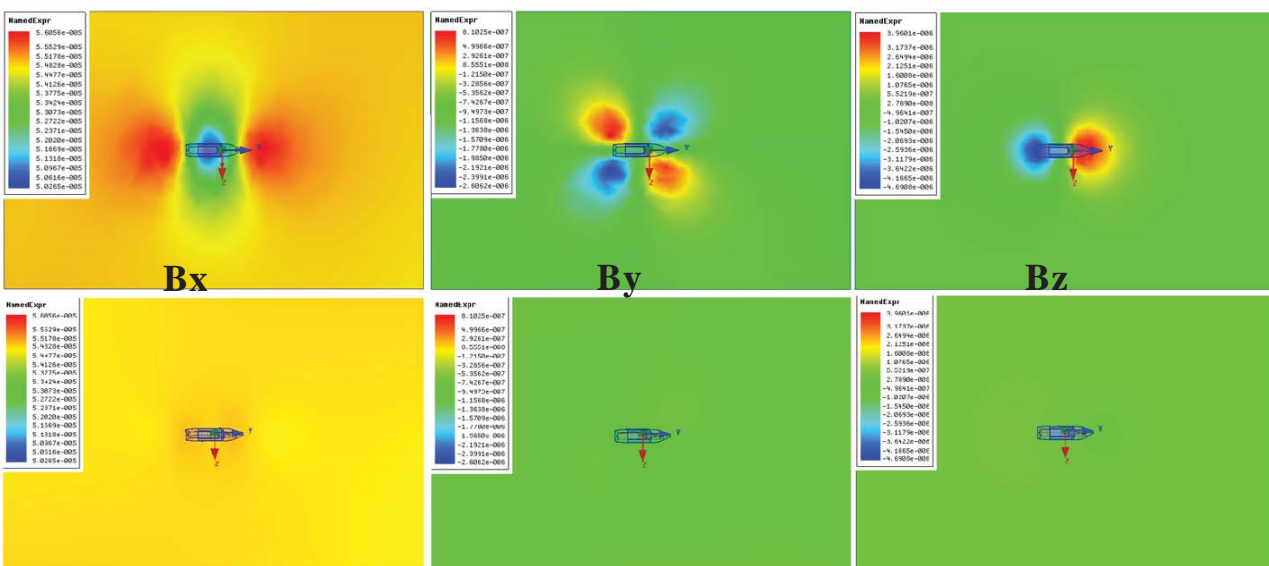
شکل ۱۷. مقایسه امضای شناور، میدان‌های برآیند سیم‌پیچ‌ها و اختلال باقی‌مانده بعد از انجام بهینه‌سازی در حالت IVM (الف) مولفه  $B_x$ ، (ب) مولفه  $B_z$

علت این امر، قابل مقایسه بودن دامنه امضای شناور با خطای شبیه سازی (ناشی از محاسبات عددی، مش بندی و ...) در حالتی است که دامنه امضای شناور کاهش یافته است. این خطأ در نتایج حاصله از بهینه سازی که در نرم افزار Matlab محاسبه شده وجود نداشته و طبیعتاً اعداد گزارش شده بر اساس منحنی Optimization error دقیق تر خواهند بود. تنها نکته مهم در مقایسه این دو منحنی این است که، دامنه ها در محدوده تقریبی یکسانی قرار داشته باشد و چون این حالت در شکل های (۱۵-۱۷) وجود دارد، می توان از عملکرد مطلوب سیستم دگوینگ اطمینان حاصل کرد.

در شکل ۱۸ نیز الگوی میدان مغناطیسی باقیمانده بعد از فرایند دگوینگ در مقایسه با امضای اولیه شناور، برای حالت ILM نشان داده شده است. در این شکل به وضوح تاثیر سیم پیچ های دگوینگ در از بین بردن اختلالات شناورها دیده می شود. بدینه ای است که برای حالت های IAM و IVM نیز چنین الگوهایی را داشته باشیم که به منظور جلوگیری از تکرار مطالب ارایه نشده است.

## ۵. نتیجه گیری

در این مقاله امضای مغناطیسی یک شناور نمونه با استفاده از آرایه هالاخ شبیه سازی شد. با توجه به زمان بر بودن بهینه سازی سیستم دگوینگ در نرم افزارهای حل عددی، داده های حاصل از شبیه سازی امضای کشتی و اثر هر یک از سیم پیچ های سیستم دگوینگ را به عنوان ورودی یک مساله بهینه سازی در نظر گرفته و با اعمال الگوریتم ازدحام ذرات، مساله بهینه سازی با توضیحات ارایه شده، در نرم افزار MATLAB انجام شد. خطاهای نرمالیزه به دست آمده (با در نظر داشتن محدودیت های عملی) در مقایسه با سایر سیستم های طراحی شده در محدوده مناسبی قرار دارد. برای اطمینان از صحت داده های به دست آمده جریان های محاسبه شده توسط بهینه سازی به یک کشتی مجهز به سیستم دگوینگ اعمال شد که نتایج این شبیه سازی در مقایسه با خطاهای پیش بینی شده



شکل ۱۸. مقایسه الگوی امضای اولیه شناور و اختلال باقیمانده بعد از انجام بهینه سازی در حالت ILM

جدول ۳. مدت زمان اجرای شبیه سازی ها و محاسبات مربوط به بهینه سازی (ثانیه: دقیقه)

شماره سیم پیچ	IVM	IAM	ILM
شبیه سازی امضای کشتی در نرم افزار MAXWELL	۴:۱۴	۴:۴۴	۵:۲۴
شبیه سازی اثر هر یک سیم پیچ (میانگین)	۱۰:۵۸	۱۳:۴۹	۱۵:۱۹
شبیه سازی اثر کل سیم پیچ ها	۵۴:۴۹	۹۶:۴۱	۱۳۷:۵۰
بهینه سازی در نرم افزار MATLAB	۲۲:۵۷	۲۹:۱۱	۴۶:۴۴
شبیه سازی نهایی در نرم افزار MAXWELL با جواب مساله بهینه سازی	۴۰:۰۸	۱۷:۵۷	۱۴:۳۰

جدول ۴. جریان سیم پیچ های سیستم دگوینگ بعد از بهینه سازی (بر حسب آمپر)

شماره سیم پیچ	سیم پیچ های طولی	سیم پیچ های عرضی	شماره سیم پیچ
۱	۱۱۱۱/۵	۲۲۲/۲	۴۲۳/۷
۲	-۱۳۲۳/۳	۶۱۸/۷	۴۲/۵
۳	۱۲۴۷	-۲۱/۱	۴۵۱/۴
۴	۹۲/۸	۳۹/۵	-۲۱/۱
۵	-۸۴۳/۸	۱۴۰	۱۰۷۰
۶	۱۴۳۵/۵	۶۸/۴	-
۷	-۱۰/۹	۹۰۵/۷	-
۸	-۵۷۴/۸	-	-
۹	۱۰۸۴/۳	-	-

Maxwell simulation error نشان داده شده است. تطبیق خوب دامنه این نمودار با نمودار خطای شبیه سازی (Optimization error)، نشان دهنده صحت داده ها بوده و تایید می کند که سیستم دگوینگ طراحی شده به خوبی کار می کند. البته ذکر این نکته حائز اهمیت است که بیشینه این منحنی در مقایسه با خطاهای شبیه سازی که از روی منحنی گزارش شده است، متفاوت بوده و Optimization error و

- [17] C. Jizhong, Z. Yiming and X. Chunyan, "A more homogeneous, less massive Halbach magnet array for portable NMR", In Electronic Measurement and Instruments ICEMI'07. 8th Int. Conf. on, pp. 1-330-1-336, IEEE, 2007.
- [18] S. Mahmoudnezhad and A. ghorbani, "Ship's Magnetic Signatures Simulation Using Halbach Magnet Array as Uniform Static Magnetic Field Source", in The third Iranian Conference on Engineering Electromagnetic (ICEEM 2014). 2014: Tehran, Iran.
- [19] Wikipedia contributors, "Charles F. Goodeve"; [https://en.wikipedia.org/w/index.php?title=Charles\\_F.\\_Goodeve&oldid=678572449](https://en.wikipedia.org/w/index.php?title=Charles_F._Goodeve&oldid=678572449), 2015.
- [20] N. S. Choi et al, "Optimization of degaussing coil currents for magnetic silencing of a ship taking the ferromagnetic hull effect into account", Applied Superconductivity, IEEE Transactions on, Vol.22, No.3, pp.4904504-4904504, 2012.
- [21] H. Liu and Z. Ma, "Optimization of vessel degaussing system based on poly-population particle swarm algorithm", In Mechatronics and Automation ICMA 2007 Int. Conf. on, pp.3133-3137, IEEE, 2007.
- [22] E. Elbeltagi, T. Hegazy, and D. Grierson, "Comparison among five evolutionary-based optimization algorithms", Advanced engineering informatics, Vol.19, No.1, pp.43-53.2005
- [23] L. Demilier et al., "Validation of Closed Loop Degaussing System for Double Hull Submarines", marine system and technology Conf. on, pp.10-14, 2010.
- [24] M. Clerc, "Particle Swarm Optimization"; John Wiley & sons, Vol.93, 2010.
- [25] A. Lazinica, "Particle Swarm Optimization"; In Tech, 2009.

بهینه‌سازی تطابق خوبی نشان داد. ضمن این‌که در روش پیشنهادی اثر بدنۀ شناور در میدان‌های تولیدی سیم‌پیچ‌ها نیز در نظر گرفته شده است. بدیهی است با در اختیار داشتن سیستم‌های رایانه‌ای سریع‌تر و نرم‌افزارهای استاندارد حل چنین مسائلی، می‌توان زمان و دقّت محاسبات را بهبود بخشد.

## ۶. مراجع

- [1] J. J. Holmes, "Exploitation of a ship's magnetic field signatures", Synthesis Lectures on Computational Electromagnetics, Vol. 1, No.1, pp. 1-78, 2006.
- [2] G. J. Aird, "Modelling the induced magnetic signature of naval vessels", PhD thesis, University of Glasgow, 2000.
- [3] P. J. Allan, "Investigations of the Magnetic Fields from Ships Due to Corrosion and Its Countermeasures", University of Glasgow, 2004.
- [4] J. J. Holmes, "Modeling a ship's ferromagnetic signatures", Synthesis Lectures on Computational Electromagnetics, Vol.2, No.1, pp. 1-75, 2007.
- [5] J. J. Holmes, "Reduction of a ship's magnetic field signatures", Synthesis Lectures on Computational Electromagnetics, Vol. 3, No.1, pp. 1-68, 2008.
- [6] C. Walker et al, "Survey of the magnetic signature of a moving surface vessel by multiple AUVs", in Oceans Int. Conf. on, PP.1-7, IEEE, 2012.
- [7] B. Armstrong et al, "Field measurement of surface ship magnetic signature using multiple AUVs", In Oceans Int. Conf. on, pp. 1-9, IEEE, 2009.
- [8] I. Gloza, S. Malinowski, and B. Marchalewski, "Ranges and equipment for the measurement of the ship's underwater signatures", Vol.15, pp. 39-48, 2012.
- [9] Z. Wei, X. Jie, and C. Jinfang, "Analysis of ship magnetic field surveying based on two Tri-axial Magnetic Sensors", In Computer, Mechatronics, Control and Electronic Engineering (CMCE), Int. Conf. on, Vol. 5, pp. 5-8, IEEE, 2010.
- [10] <http://www.emcos.com/?application-examples=magnetic-signature-of-naval-ship-in-the-earths-magnetic-field>.
- [11] "Flux"; <http://magsoft-flux.com/products/flux>.
- [12] "Static Electromagnetics Module"; <http://operafea.com/product/analysis-modules/static-electromagnetics/>.
- [13] "ANSYS Maxwell"; <http://www.ansys.com/Products/Simulation+Technology/Electronics/Electromechanical/ANSYS+Maxwell>.
- [14] "ANSYS HFSS"; <http://www.ansys.com/Products/Simulation+Technology/Electronics/Signal+Integrity/ANSYS+HFSS>.
- [15] "Marine"; <https://www.feko.info/applications/marine>.
- [16] "Statics and Low Frequency"; <https://www.cst.com/Applications/StaticsLowFreq>.

## **Optimization of Degaussing Coil Currents of a Ship Using Particle Swarm Algorithm**

**S. Mahmoudnezhad Makouie\*, A. Ghorbani**

\* Amirkabir University of Technology

(Received: 30/11/2014, Accepted: 04/03/2015)

### **Abstract**

Ships' magnetic anomalies are one of their main problems encountering sea mines and for the cases of submarines are one of the prominent factors, which causes their fast detection. The main aim of this paper is to design a degaussing system in order to minimize magnetic anomalies of ships. To achieve this goal, first, magnetic signature of a simple ship is simulated. Then by utilizing three groups of coils which are located inside the ship's hull, an anomaly with the same magnitude and inverse direction will be produced to minimize the total anomalies. In presented work according to the linearity of the whole system and by using particle swarm optimization, the current value of each coil will be calculated. Less complexity and higher speed of this method in comparison with direct optimizations of simulators are the most important advantages of the proposed method.

**Keywords:** Magnetic Anomaly, Ferromagnetic Materials, Ship's Magnetic Signature, Degaussing System, Particle Swarm Optimization.

---

\*Corresponding author E-mail: sina.mm@aut.ac.ir